

セメントアスファルトモルタルの力学性状に関する研究

大阪市立大学工学部

正員 ○根来日出晴

〃 三瀬貞、山田優

学生員 下谷長由

1. まえがき

セメントと特殊な乳剤を配合した複合材料として、最近注目を集めているセメントアスファルトモルタル（以下CAモルタルとする）は、こんが軌道床の注入グラウト材として開発されたもので、すでに実用化されているが、常温施工が可能であるなどのメリットがあり、今後の用途拡大が期待される材料である。しかし、セメントとアスファルトという性質の大きく異なる結合材によって構成されることはために、その基礎的な力学性状に不満な点が多い。本研究では、一定ひずみ速度の曲げ試験を行ない、曲げ強度などと配合、ひずみ速度および温度との関係について考察した。また、CAモルタルに纖維を混入する効果についても検討した。

2. 実験方法

試料は早強ポルトランドセメント（セメント量3.3%）、アスファルト乳剤（＝オニ系、水

（比重3.13）、砂（比重2.71）と用い、表-1に示すような配合で、20℃の恒温室で混合・作製し、24時間後に成型、その後5日間室中養生し、さらに24時間所定の試験温度に保てて後、曲げ試験した。曲げ試験条件および解析法を表-2に示す。なお、繊維には耐アルカリ性ガラス繊維（繊維長24mm、比重2.67）を使用した。

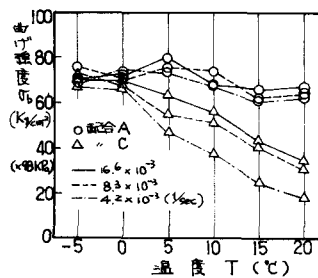
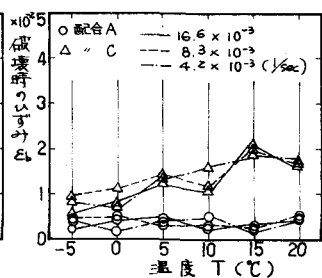
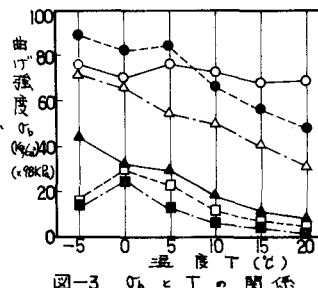
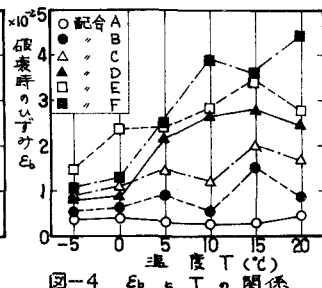
3. 実験結果と考察

(1) ひずみ速度と曲げ強度 σ_b 、破壊時ひずみ E_b の関係——図-1および図-2より、配合A（セメントモルタル）は、ひずみ速度依存性を示していないが、配合C以上は、ひずみ速度の変化が小さくてもひずみがわらす、あるいはよう曲げ強度の変化が見られる。破壊時のひずみについこは、多少ばらつきが見られ明らかなではない。しかし、CAモルタルは、アスファルト、増加とともにアスファルト混合物のようにひずみ速度依存性を有するようになるとと言える。

配合	A	B	C	D	E	F
セメント(%)	19	15	10	7.5	5	3
A ₃ 乳剤(%)	0	17	37	47.5	50	52
砂(%)	45	45	45	45	45	45
水	36	23	8	0	0	0

試験体寸法 ひずみ速度 試験温度	表-2. 曲げ試験条件と解析法		
	4×4×16 cm (試験長12 cm)	4.2×10 ⁻³ 8.3×10 ⁻³ 16.6×10 ⁻³ (1/sec)	−5°C ~ 20°C
	曲げ速度を $\dot{\sigma}_b$ (kg/cm ² /sec), 破壊時ひずみを E_b , ひずみ速度を E (1/sec)とすると,	$\sigma_b = \frac{3Rl}{2ab^2}$, $E_b = \frac{6bd^2}{l^2}$, $E = \frac{6bd}{l^2}$	$= \frac{E}{E_b} = \frac{a}{b} \cdot \frac{l}{d}$
試験体寸法 ひずみ速度 試験温度			

$$\text{曲げ速度を } \dot{\sigma}_b (\text{kg/cm}^2/\text{sec}), \text{ 破壊時ひずみを } E_b, \\ \text{ ひずみ速度を } E (1/\text{sec}) \text{ とすると}, \\ \sigma_b = \frac{3Rl}{2ab^2}, E_b = \frac{6bd^2}{l^2}, E = \frac{6bd}{l^2} \\ \therefore \frac{E}{E_b} = \frac{a}{b} \cdot \frac{l}{d} \\ \text{a: 供試体幅(cm), b: 供試体厚さ(cm)} \\ l: スパン長(cm), d: 变速速度(cm/sec) \\ db: 破壊荷重(Eb) (kg), Eb: 破壊時荷重 (kg)$$

図-1 各ひずみ速度における σ_b とTの関係図-2 各ひずみ速度における E_b とTの関係図-3 σ_b とTの関係図-4 E_b とTの関係

Hideharu NEGORO, Tadashi MISE, Masaru YAMADA, Nagayoshi OTANI (現在株式会社竹中工務店)

(2) 温度 T と $\eta_b, \dot{\eta}_b$ の関係——図-3 および図-4 より、配合 A を除いた全との配合ごと CA モルタルは感温性を示しそう。特に配合 E および配合 F については、 η_b-T 曲線に極大値が見られるが、これはアスファルト混合物へ脆化点に相当するものと考えられる。また、 $\dot{\eta}_b-T$ 曲線の傾きは、アスファルトの増加に伴って大きくなり、感温性も増すことが分かる。

(3) 配合条件と $\eta_b, \dot{\eta}_b$ の関係——図-5 および図-6 より、曲げ強度はメントの増加とともに増大し、破壊時のひずみは減少している。また、図-5 において、配合 A よりも B の方が低温時の曲げ強度が大きくなるという特徴ある結果を得た。これは混合物中のアスファルトの応力分散効果に起因するものと考えられる。

(4) 纖維添加率と $\eta_b, \dot{\eta}_b$ の関係——図-7 および図-8 より、纖維添加率が 0.5% 程度では、曲げ強度の改善効果は見られない。しかし、供試体にクリックが入ってからも曲げ抵抗が持続するという点では、纖維添加効果が観察された。

(5) η_b と $\dot{\eta}_b$ の関係——図-9 は、今回行なった実験のうちで、試験温度が 5°C 以上のものについて、曲げ強度と破壊時のひずみの関係(いわゆる曲げの破壊包絡線)を示したものである。すなれち、CA モルタルは、その配合、温度およびひずみ速度を変化させても図中左上方から右下方へと移動する連続群に対応する性質のものが得られることを示している。しかし、この図に示すように、纖維を添加することによつて、配合を変化させただけでは得られないが、したがって性質のものが得られないこととなる。

4. まとめ

今後、CA モルタルの土木材料としての適用性を論じるには、まだまだ数多くの要因について検討する必要があり、現在、実験を繼續中である。

(参考文献) 川野敏行、アスファルト混和料の耐性試験への適用、あらわると乳剤 No. 55, 1978.

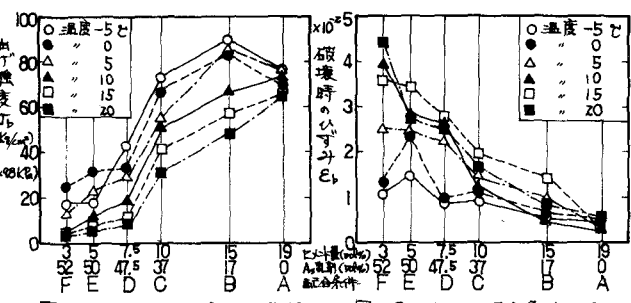


図-5 η_b と配合条件の関係

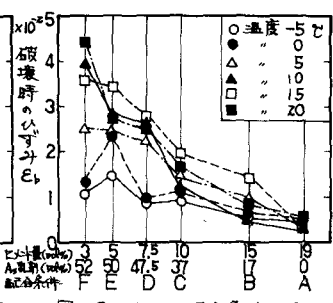


図-6 $\dot{\eta}_b$ と配合条件の関係

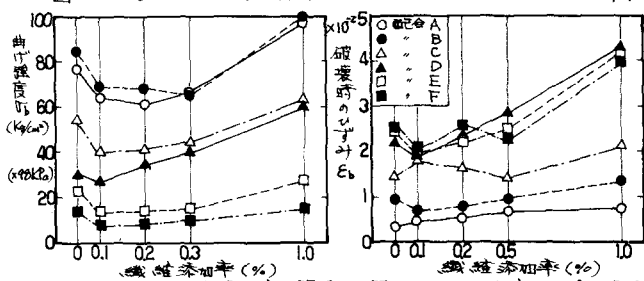


図-7 η_b と纖維添加率の関係

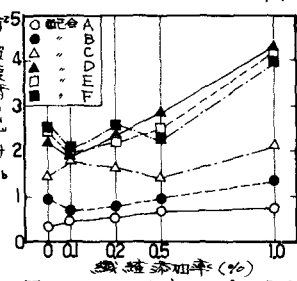


図-8 $\dot{\eta}_b$ と纖維添加率の関係

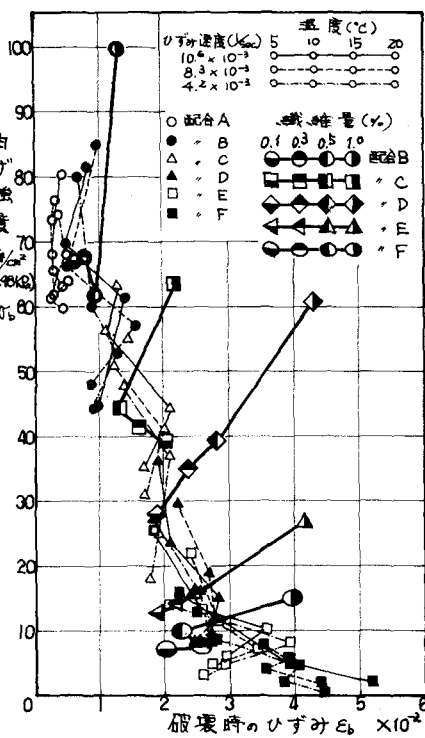


図-9 曲げ強度と破壊時のひずみの関係